

УДК 532.517.2

## ТЕЧЕНИЕ КУЭТТА И ТЕПЛООТДАЧА СТРУКТУРНОЙ НЕСИММЕТРИЧНОЙ ЖИДКОСТИ

ПЕТРОСЯН Л. Г.

Дается решение задачи Куэтта в случае несжимаемой структурной жидкости с несимметричным тензором напряжений. Рассмотрено распределение температуры в случае вынужденного конвективного течения вязкой несжимаемой несимметричной жидкости. Показано, что выделение тепла больше, чем для классических ньютоновских жидкостей, где внутреннее вращение не учитывается.

Задачу о движении жидкости между двумя параллельными плоскими стенками, из которых одна покоятся, а другая движется в своей плоскости с постоянной скоростью (течение Куэтта) рассмотрена в работе [1]. В работе [2] рассмотрено распределение температуры для течения Куэтта. Вышеуказанные решения были основаны на классической теории континуума. Однако классическая точка зрения налагает сильные ограничения на пределы, в которых континуальное описание макроскопического поведения может успешно отражать точную структуру материала. Накопившиеся факты свидетельствуют о том, что классическая теория континуума Навье-Стокса не может точно предсказать поведение некоторого класса жидкостей и особенно течений через тонкие капилляры и узкие зазоры, так как не содержит механизма для объяснения наблюдаемых новых физических явлений. Такая потеря точности возможна на случаях, когда характерный размер системы (расстояние между плоскими стенками) сравним с характерной материальной длиной вещества, значение которой обусловлено средним размером молекул или зерен, содержащихся в среде [3].

Это обстоятельство (совместно с другими недостатками классической теории континуума) привело исследователей к разработке теории несимметричных жидкостей.

Все более очевидно, что разработанные в последнее время положения теории структурных жидкостей могут успешно описывать неニュтоновские поведения реальных жидкостей. В этой теории введены два независимых кинематических векторных поля, одно из которых представляет поступательные движения частиц жидкости, а другое—угловые вращательные движения частиц, характеризующие внутренние степени свободы, соответствующие им моментные напряжения. В

\* К настоящему времени опубликовано большое количество работ, посвященных этой тематике, о чем достаточно полно изложено в [3].

динамике структурных несимметрических жидкостей вращательные степени свободы учитываются путем введения в законы сохранения внутреннего «спинного» момента количества движения [3—12]. Характерным отличием теории структурных сред с несимметрическим тензором напряжений является присутствие масштабных параметров. Эти жидкости реагируют на микровращательные движения и спиновую инерцию, поэтому могут воспринимать распределенные поверхности и массовые пары сил.

В работе [13] в рамках модели [14] рассматривалась нагрев микрополярной жидкости за счет вязкой диссипации энергии при ее течении в плоском канале, когда одна из пластин движется относительно другой с постоянной скоростью, в случае нулевого перепада давления (простое течение Куэтта). Найдены выражения для полей скорости и микровращения, а также для функции вязкой диссипации энергии.

В настоящей работе дается решение задачи Куэтта в случае несжимаемой структурной жидкости с несимметрическим тензором напряжений. Рассмотрено распределение температуры с учетом тепла, возникающего вследствие трения.

### 1. Основные уравнения движения

Общая система уравнений вязкой несжимаемой жидкости с несимметрическим тензором напряжений имеет вид [3, 6]

$$\begin{aligned} \nabla \cdot \vec{v} &= 0 \\ \frac{d\vec{v}}{dt} &= -\frac{1}{\rho} \nabla p + 2\nu \nabla \cdot (\nabla \vec{v})^d + \nu_r \nabla \times [2\vec{\omega} - \nabla \times \vec{v}] + \vec{f} \\ I \frac{d\vec{\omega}}{dt} &= 2\nu_r (\nabla \times \vec{v} - 2\vec{\omega}) + c_0 \nabla (\nabla \cdot \vec{\omega}) + 2c_a \nabla \cdot (\nabla \vec{\omega})^d + \\ &+ 2c_a \nabla \cdot (\nabla \vec{\omega})^a + \vec{c} \end{aligned} \quad (1.1)$$

Здесь  $\rho$ —массовая плотность,  $p$ —давление,  $I$ —скалярная константа с размерностью момента инерции единицы массы,  $\vec{v}$ —вектор скорости точки,  $\vec{\omega}$ —вектор, характеризующий среднюю угловую скорость вращения частиц, из которых состоит точка континуума,  $\nu$ —кинематическая пьютоновская вязкость,  $\nu_r$ —кинематическая вращательная вязкость,  $c_0$ ,  $c_a$ ,  $c_d$ —коэффициенты моментной вязкости,  $d(\dots) dt$ —полная производная по времени,  $\nabla$ —пространственный градиент,  $(\nabla \vec{v})^d$  и  $(\nabla \vec{\omega})^d$ —симметрические части соответствующих диад,  $(\nabla \vec{v})^a$  и  $(\nabla \vec{\omega})^a$ —антисимметрические диады,  $\vec{f}$ —вектор массовой силы,  $\vec{c}$ —вектор массового момента.

К активным массовым силам, входящим в уравнения движения, необходимо присоединить архимедову подъемную силу, возникающую вследствие изменений объема, связанных с нагреванием.

В работе [1] показана, что массовая сила, обусловленная архимедовой подъемной силой, одинакова по порядку своей величины с силами инерции и трения лишь в том случае, если соотношения между числом Грасгофа  $Gr = \frac{g^2 L^3 (\Delta T)_0}{\nu^2}$  и числом Рейнольдса  $R = \frac{V_0 L}{\nu}$

равно

$$Gr \approx R^2$$

Здесь  $g$  — ускорение свободного падения,  $\beta$  — коэффициент кубического расширения,  $(\Delta T)_0 = T_\infty - T_\infty$  — разность температур тела (стенки) и жидкости,  $L$  — характерная длина,  $V_0$  — характерная скорость.

Такое соотношение между числом Грасгофа и числом Рейнольдса может существовать только при очень малых скоростях течения и значительных разностях температур.

Анализ системы уравнений движения (1.1) показывает, что в случае модели структурной жидкости с несимметричным тензором напряжений, учитывающей внутренние степени свободы, массовая сила, обусловленная архимедовой подъемной силой, одинакова по порядку своей величины с силами инерции и трения, если  $Gr \approx R^2$ , то есть учет вращения частицы жидкости не приносит ничего нового в нем.

Таким образом, архимедову подъемную силу в уравнениях (1.1) можно не учитывать при умеренно больших скоростях (при больших числах Рейнольдса) и при малых разностях температур [1]. Известно, что такие течения называются вынужденными конвективными течениями [1]. В случаях, когда архимедову подъемную силу в уравнениях движения (1.1) можно отбросить, а вязкости считать не зависящими от температуры, распределение скоростей становится независящим от распределения температуры.

## 2. Течение Куттта

Особенно простое точное решение системы уравнений (1.1) получается для течения Куттта, то есть для установившегося ламинарного течения между двумя параллельными плоскими стенками, из которых одна поконется, а другая движется в своей собственной плоскости с постоянной скоростью  $U$  (фиг. 1). Пусть, расстояние между стенками равно  $h$ , скорость и направлена по оси  $x$ , составляющие скорости  $v$  и  $w$  всюду равны нулю, всюду равны нулю и составляющие угловые скорости  $\omega_x$ ,  $\omega_y$ . Имеем

$$\begin{aligned} v &= w = 0, \quad u = u(y) \\ \omega_x &= \omega_y = 0, \quad \omega_z = \omega(z) \end{aligned} \tag{2.1}$$

В этом случае уравнение неразрывности удовлетворяется тождес-

венно, а уравнения поступательного и вращательного движений (без учета архимедовой подъемной силы) сводятся к виду

$$\frac{\partial p}{\partial y} = \frac{\partial p}{\partial z} = 0, \quad \frac{\partial p}{\partial x} = \text{const}$$

и

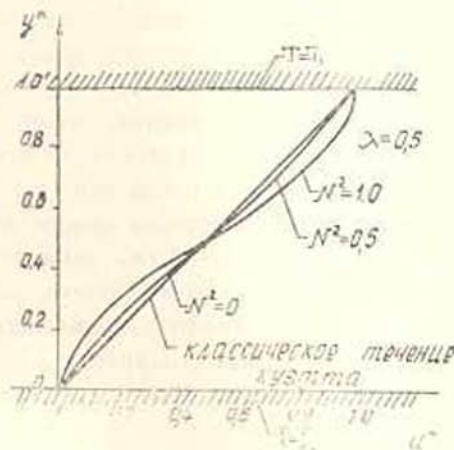
$$\frac{dp}{dx} = (\gamma_i + \gamma_{ir}^2) \frac{d^2 u}{dy^2} + 2\gamma_{ir} \frac{d\omega}{dy} \quad (2.2)$$

$$\frac{du}{dy} = \frac{c'_a + c'_d}{2\gamma_{ir}} \frac{d^2 \omega}{dy^2} - 2\omega \quad (2.3)$$

Здесь

$$\gamma_i = \rho g, \quad \gamma_{ir} = \rho \omega_r, \quad c'_a = \rho c_a, \quad c'_d = \rho c_d$$

Уравнения (2.2) и (2.3) являются линейными дифференциальными уравнениями относительно  $u(y)$  и  $\omega(y)$ .



Фиг. 1.

Предполагаем, что жидкость прилипает к стенкам при  $y=0$  и  $y=h$ , тогда граничные условия для поступательной скорости и угловой скорости вращения частиц будут [3, 15]

$$\begin{aligned} u &= 0, \quad \omega = 0 \quad \text{при } y = 0 \\ u &= U, \quad \omega = 0 \quad \text{при } y = h \end{aligned} \quad (2.4)$$

Решение системы уравнений (2.2) и (2.3) с учетом граничных условий (2.4) имеет следующий вид:

$$u = \frac{1}{\eta} \frac{dp}{dx} \left( \frac{y^2}{2} - \frac{N^2 h \operatorname{ch} hy - 1}{k \operatorname{sh} kh} \right) - C \left\{ y - \frac{N^2}{k} \left[ \operatorname{sh} hy - \frac{(\operatorname{ch} hy - 1)(\operatorname{ch} kh - 1)}{\operatorname{sh} kh} \right] \right\} \quad (2.5)$$

$$\omega = \frac{1}{2\eta} \frac{dp}{dx} \left( \frac{\operatorname{sh}ky}{\operatorname{sh}kh} h - y \right) - \frac{1}{2} C \left[ \operatorname{ch}ky - \frac{\operatorname{ch}kh - 1}{\operatorname{sh}kh} \operatorname{sh}ky - 1 \right] \quad (2.6)$$

Здесь

$$k = \frac{N}{U}, \quad N = \left( \frac{\tau_r}{\eta + \tau_r} \right)^{1/2}, \quad U = \left( \frac{c_a + c_d}{4\eta} \right)^{1/2}$$

а постоянная интегрирования  $C$  дается соотношением

$$C = \frac{1}{2} \left( \frac{h}{\eta} \frac{dp}{dx} - \frac{U}{h} - \frac{N^2 \operatorname{ch}kh - 1}{k \operatorname{sh}kh} \right) \quad (2.7)$$

В дальнейшем, для простоты решения, рассмотрим случай нулевого перепада давления (течение чистого сдвига). Тогда, для распределения поступательной скорости  $u$  и скорости вращения частицы  $\omega$  будем иметь

$$u^* = \frac{u}{U} = C^* \left\{ y^* - \frac{N^2}{\lambda} \left[ \operatorname{sh}\lambda y^* - \frac{(\operatorname{ch}\lambda y^* - 1)(\operatorname{ch}\lambda - 1)}{\operatorname{sh}\lambda} \right] \right\} \quad (2.8)$$

$$\omega^* = \frac{\omega h}{U} = \frac{1}{2} C^* \left[ \operatorname{ch}\lambda y^* - \frac{\operatorname{ch}\lambda - 1}{\operatorname{sh}\lambda} \operatorname{sh}\lambda y^* - 1 \right] \quad (2.9)$$

где

$$C^* = \frac{1}{1 - \frac{2N^2 \operatorname{ch}\lambda - 1}{\lambda \operatorname{sh}\lambda}}, \quad \lambda = kh, \quad y^* = \frac{y}{h}$$

В предельном случае  $N \rightarrow 0$  или  $\lambda \rightarrow \infty$  выражение безразмерной поступательной скорости (2.8) переходит к классическому решению

$$\lim_{\substack{N \rightarrow 0 \\ \text{или} \\ \lambda \rightarrow \infty}} u^* = y^* \quad (2.10)$$

и (2.9) дает  $\omega = 0$ .

$\lambda$ —действительное число, характеризующее взаимосвязь между геометрией и свойствами жидкости, так как  $\eta$ ,  $\tau_r$ ,  $c_a$ ,  $c_d$  неотрицательны.

Для различных значений  $N$  (при  $\lambda = 0.5$ ) на фиг. 1 изображено отличие скорости от классического течения Куэтта.

Как видим, учет несимметричности тензора напряжений жидкости (микроструктуры) приводит к увеличению скорости в прилагающей к движущейся стенке половине и уменьшает в другой половине скорости по сравнению со скоростью течения классической ньютоновской жидкости. Причем, чем больше  $N$ , тем больше эти эффекты.

### 3. Составление уравнения энергии

Из уравнения «первого закона термодинамики» для систем с несимметричным тензором напряжений имеем [3]

$$\rho \frac{de}{dt} = -p \nabla \cdot \vec{v} + p\Phi + \nabla \cdot (\kappa \nabla T) \quad (3.1)$$

где

$$\vec{q} = -\kappa \nabla T$$

Здесь:  $e$ —удельная внутренняя энергия,  $\vec{q}$ —вектор потока тепла через границу площади в единицу времени за счет теплопроводности,  $\kappa$ —коэффициент теплопроводности,  $T$ —абсолютная температура,  $\Phi$ —скорость диссипации механической энергии (на единицу массы жидкости), вызываемой вязкостью жидкости.

Для скорости диссипации (в случае плоского течения) имеем [3]

$$\Phi = \nu \left[ 2 \left[ \left( \frac{\partial u}{\partial x} \right)^2 + \left( \frac{\partial v}{\partial y} \right)^2 \right] + \left( \frac{\partial v}{\partial x} + \frac{\partial u}{\partial y} \right)^2 \right] + (c_a + c_d) \left[ \left( \frac{\partial \omega}{\partial y} \right)^2 + \left( \frac{\partial \omega}{\partial x} \right)^2 \right] + \nu \left[ \left( \frac{\partial v}{\partial x} - \frac{\partial u}{\partial y} \right)^2 - 4w \left( \frac{\partial v}{\partial x} - \frac{\partial u}{\partial y} \right) + 4w^2 \right] \quad (3.2)$$

В том случае, когда скорость движения жидкости мала по сравнению со скоростью звука, то возникающие в результате движения изменения давления настолько малы, что вызываемыми ими изменениями термодинамических величин можно пренебречь. При определении производных от термодинамических величин в этом случае давление надо считать постоянным. Тогда будем иметь следующее термодинамическое соотношение [16]:

$$T \frac{ds}{dt} = c_p \frac{dT}{dt} \quad (3.3)$$

где  $s$ —удельная энтропия,  $c_p$ —удельная теплоемкость при постоянном давлении.

Используя уравнение сохранения энергии (3.1), соотношение (3.3) перепишем в виде:

$$\frac{dT}{dt} = \frac{\kappa}{\rho c_p} \nabla^2 T + \frac{1}{c_p} \Phi \quad (3.4)$$

Здесь были использованы также термодинамическое соотношение Гиббса и уравнение неразрывности в форме [17]

$$T \frac{ds}{dt} = \frac{de}{dt} + p \frac{d(1/\rho)}{dt}, \quad \rho \frac{d(1/\rho)}{dt} = \nabla \cdot \vec{v}$$

#### 4. Определение распределения температуры

Так как для задачи Куэтта скорость диссипации согласно (3.2) равна

$$\rho \Phi = (\gamma + \tau_v) \left( \frac{\partial u}{\partial y} \right)^2 + 4\tau_v \left( w \frac{\partial u}{\partial y} + w^2 \right) + (c_a' + c_d') \left( \frac{\partial \omega}{\partial y} \right)^2$$

то уравнение для распределения температуры (уравнение энергии (3.4)) примет вид

$$\begin{aligned} \rho c_p \left( u \frac{\partial T}{\partial x} + v \frac{\partial T}{\partial y} \right) = & \left( \frac{\partial^2 T}{\partial x^2} + \frac{\partial^2 T}{\partial y^2} \right) + (\gamma + \gamma_r) \left( \frac{\partial u}{\partial y} \right)^2 + \\ & + 4\gamma_r \left( w \frac{\partial u}{\partial y} + \omega^2 \right) + (c_a' + c_d') \left( \frac{\partial \omega}{\partial y} \right)^2 \end{aligned} \quad (4.1)$$

Очень простое решение для распределения температуры получается при следующих граничных условиях, определяющих температуру на стенках:

$$\begin{aligned} T = T_0 & \text{ при } y=0 \\ T = T_1 & \text{ при } y=h \end{aligned} \quad (4.2)$$

то есть при постоянном значении температуры вдоль каждой стенки.

Уравнение (4.1) при граничных условиях (4.2) дает для распределения температуры решение, не зависящее от  $x$ . Поскольку  $v \equiv 0$ , а  $T$  не зависит от  $x$ , вся левая часть уравнения (4.1), представляющая перенос тепла посредством конвекции, становится [1, 18]. Следовательно, возникающее при течении поле температуры обусловлено только теплопроводностью в поперечном направлении и теплом, образующимся вследствие трения. Отбросив в уравнении (4.1) члены, равные нулю, получим

$$x \frac{d^2 T}{dy^2} = -(\gamma + \gamma_r) \left( \frac{du}{dy} \right)^2 - 4\gamma_r \left( w \frac{du}{dy} + \omega^2 \right) - (c_a' + c_d') \left( \frac{d\omega}{dy} \right)^2 \quad (4.3)$$

Вычисляя из (2.8) и (2.9) значения  $\omega^2$ , производных  $\frac{du}{dy}$ ,  $\frac{d\omega}{dy}$  и подставляя в уравнение (4.3), получим

$$\begin{aligned} \frac{T - T_0}{T_1 - T_0} = & \frac{y}{h} + \frac{\gamma C_{v2}^2 U^2}{2\kappa(T_1 - T_0)} \frac{y}{h} \left( 1 - \frac{y}{h} \right) + \frac{\gamma C_{v2}^2 U^2}{2\kappa(T_1 - T_0)} \frac{N^2}{h^2} \left\{ 4 \left( \operatorname{ch} \frac{y}{h} - \right. \right. \\ & \left. \left. - \frac{y}{h} \operatorname{ch} \lambda \right) - \frac{1}{2} \left( \operatorname{ch} 2\lambda \frac{y}{h} - \frac{y}{h} \operatorname{ch} 2\lambda \right) \left[ 1 + \frac{(\operatorname{ch} \lambda - 1)^2}{\operatorname{sh}^2 \lambda} \right] + \right. \\ & + \frac{\operatorname{ch} \lambda - 1}{\operatorname{sh} \lambda} \left( \operatorname{sh} 2\lambda \frac{y}{h} - \frac{y}{h} \operatorname{sh} 2\lambda \right) - \frac{1}{2} \left( 1 - \frac{y}{h} \right) \left[ 7 - \frac{(\operatorname{ch} \lambda - 1)^2}{\operatorname{sh}^2 \lambda} \right] - \\ & \left. \left. - \frac{4N^2}{1 - N^2} \frac{\operatorname{ch} \lambda - 1}{\operatorname{sh} \lambda} \left( \operatorname{sh} \lambda \frac{y}{h} - \frac{y}{h} \operatorname{sh} \lambda \right) \right\} \right\} \end{aligned} \quad (4.4)$$

Введя обозначение  $T_1 - T_0 = (\Delta T)_0$ , представим безразмерный параметр

$$\frac{\gamma_i U^2}{2(T_1 - T_0)}$$

в виде произведения [1]

то уравнение для распределения температуры (уравнение энергии (3.4)) примет вид

$$\begin{aligned} \rho c_p \left( u \frac{\partial T}{\partial x} + v \frac{\partial T}{\partial y} \right) = & \left( \frac{\partial^2 T}{\partial x^2} + \frac{\partial^2 T}{\partial y^2} \right) + (\gamma_1 + \gamma_r) \left( \frac{\partial u}{\partial y} \right)^2 + \\ & + 4\gamma_r \left( \omega \frac{\partial u}{\partial y} + \omega^2 \right) + (c_a' + c_d') \left( \frac{\partial \omega}{\partial y} \right)^2 \end{aligned} \quad (4.1)$$

Очень простое решение для распределения температуры получается при следующих граничных условиях, определяющих температуру на стенах:

$$\begin{aligned} T = T_0 & \text{ при } y=0 \\ T = T_1 & \text{ при } y=h \end{aligned} \quad (4.2)$$

то есть при постоянном значении температуры вдоль каждой стенки.

Уравнение (4.1) при граничных условиях (4.2) дает для распределения температуры решение, не зависящее от  $x$ . Поскольку  $v=0$ , а  $T$  не зависит от  $x$ , вся левая часть уравнения (4.1), представляющая перенос тепла посредством конвекции, становится [1, 18]. Следовательно, возникающее при течении поле температуры обусловлено только теплопроводностью в поперечном направлении и теплом, образующимся вследствие трения. Отбросив в уравнении (4.1) члены, равные нулю, получим

$$x \frac{d^2 T}{dy^2} = -(\gamma_1 + \gamma_r) \left( \frac{du}{dy} \right)^2 - 4\gamma_r \left( \omega \frac{du}{dy} + \omega^2 \right) - (c_a' + c_d') \left( \frac{d\omega}{dy} \right)^2 \quad (4.3)$$

Вычисляя из (2.8) и (2.9) значения  $\omega^2$ , производных  $\frac{du}{dy}$ ,  $\frac{d\omega}{dy}$  и подставляя в уравнение (4.3), получим

$$\begin{aligned} \frac{T - T_0}{T_1 - T_0} = & \frac{y}{h} + \frac{\gamma_r C^{**2} U^2}{2x(T_1 - T_0)} \frac{y}{h} \left( 1 - \frac{y}{h} \right) + \frac{\gamma_r C^{**2} U^2}{2x(T_1 - T_0)} \frac{N^2}{h^2} \left\{ 4 \left( \operatorname{ch} \frac{y}{h} - \right. \right. \\ & \left. \left. - \frac{y}{h} \operatorname{ch} \lambda \right) - \frac{1}{2} \left( \operatorname{ch} 2\lambda \frac{y}{h} - \frac{y}{h} \operatorname{ch} 2\lambda \right) \left[ 1 + \frac{(\operatorname{ch} \lambda - 1)^2}{\operatorname{sh}^2 \lambda} \right] + \right. \\ & \left. + \frac{\operatorname{ch} \lambda - 1}{\operatorname{sh} \lambda} \left( \operatorname{sh} 2\lambda \frac{y}{h} - \frac{y}{h} \operatorname{sh} 2\lambda \right) - \frac{1}{2} \left( 1 - \frac{y}{h} \right) \left[ 7 - \frac{(\operatorname{ch} \lambda - 1)^2}{\operatorname{sh}^2 \lambda} \right] - \right. \\ & \left. \left. - \frac{4N^2}{1 - N^2} \frac{\operatorname{ch} \lambda - 1}{\operatorname{sh} \lambda} \left( \operatorname{sh} \lambda \frac{y}{h} - \frac{y}{h} \operatorname{sh} \lambda \right) \right\} \right. \end{aligned} \quad (4.4)$$

Введя обозначение  $T_1 - T_0 = (\Delta T)_0$ , представим безразмерный параметр

$$\frac{\gamma_r U^2}{2x(T_1 - T_0)}$$

в виде произведения [1]

$$\frac{\eta U^*}{z(T_1 - T_0)} = \frac{\eta c_p}{z} \frac{U^*}{c_p(\Delta T)_0} = \text{PrEc}$$

Следовательно, этот параметр может быть выражен через число Прандтля и через число Эккерта. Таким образом, в рассматриваемом случае, в котором конвекция тепла отсутствует, температурное поле зависит только от произведения  $\text{Pr} \cdot \text{Ec}$ .

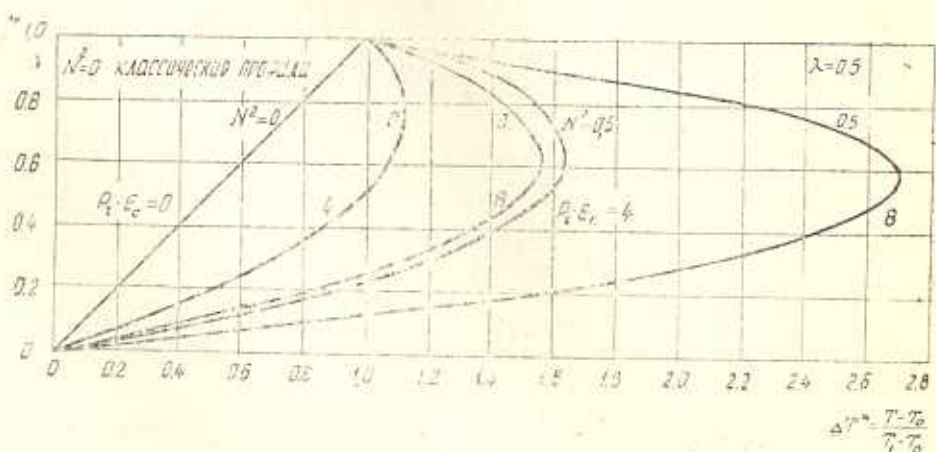
Окончательно для распределения температуры получим уравнение

$$\begin{aligned} \frac{T - T_0}{T_1 - T_0} = & \frac{y}{h} + \frac{1}{2} \text{Pr} \cdot \text{Ec} \frac{y}{h} \left( 1 - \frac{y}{h} \right) + \frac{1}{2} \text{Pr} \cdot \text{Ec} \frac{y}{h} \left( 1 - \frac{y}{h} \right) (C^{*2} - 1) + \\ & + \frac{1}{2} C^{*2} \text{Pr} \cdot \text{Ec} \frac{N^2}{\lambda^2} \left\{ 4 \left( \operatorname{ch} \frac{y}{h} - \frac{y}{h} \operatorname{sh} \frac{y}{h} \right) - \frac{1}{2} \left( \operatorname{ch} 2 \lambda \frac{y}{h} - \frac{y}{h} \operatorname{ch} 2 \lambda \right) \right\} \left[ 1 + \right. \\ & \left. + \frac{(\operatorname{ch} \lambda - 1)^2}{\operatorname{sh}^2 \lambda} \right] + \frac{\operatorname{ch} \lambda - 1}{\operatorname{sh} \lambda} \left( \operatorname{sh} 2 \lambda \frac{y}{h} - \frac{y}{h} \operatorname{sh} 2 \lambda \right) - \frac{1}{2} \left( 1 - \frac{y}{h} \right) \left[ 7 - \frac{(\operatorname{ch} \lambda - 1)^2}{\operatorname{sh}^2 \lambda} \right] - \\ & - \frac{4 N^2}{1 - N^2} \frac{\operatorname{ch} \lambda - 1}{\operatorname{sh} \lambda} \left( \operatorname{sh} \lambda \frac{y}{h} - \frac{y}{h} \operatorname{sh} \lambda \right) \} \end{aligned} \quad (4.5)$$

Из (4.5) видно, что распределение температуры складывается из двух частей. Первая часть соответствует решению классической ньютоновской жидкости [1], на эту часть налагается распределение, зависящее от тепла, возникающего вследствие несимметричности жидкости, то есть учета внутреннего вращения.

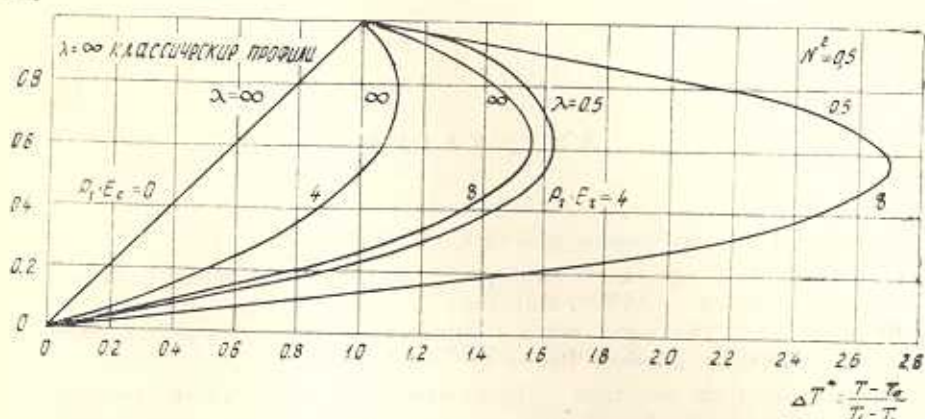
В предельном случае  $N \rightarrow 0$  или  $\lambda \rightarrow \infty$  выражение распределения температуры (4.4) сводится к классическому решению для течения Куэтта, полученному Г. Шлихтингом [1]

$$\lim_{\substack{N \rightarrow 0 \\ \lambda \rightarrow \infty}} \frac{T - T_0}{T_1 - T_0} = \frac{y}{h} + \frac{\eta U^*}{2z(T_1 - T_0)} \frac{y}{h} \left( 1 - \frac{y}{h} \right)$$



Фиг. 2.

Распределение температуры при течении Куэтта с учетом тепла, возникающего вследствие трения, для различных значений безразмеренного параметра связи  $N$  (при  $\lambda=0.5$ ,  $Pr \cdot Ec = 0; 4; 8$ ) изображено на фиг. 2.



Фиг. 3.

Как видно из фиг. 2, выделение тепла здесь больше тепла для классических ньютоновских жидкостей.

На фиг. 3 показаны графики распределения безразмерной температуры при различных значениях параметра  $\lambda$  (при  $N^2=0.5$ ,  $Pr \cdot Ec = 0; 4; 8$ ).

Из графика видно, что чем ниже значение  $\lambda$ , тем более ярко выражены эффекты учета подструктурой жидкости на распределения температуры по сечению течения.

## THE COUETTE FLOW AND HEAT TRANSFER OF THE STRUCTURAL NONSYMMETRIC FLUID

L. G. PETROSIAN

ԿԱՐՈՒՅՎԱԾՔԱՑՄԻ ՈՉ ՍԻՄԵՏՐԻԿ ՀԵԴՈՒԿԻ ԿԱԽԵՏԻ ՀԱՄՔ ԵՎ  
ՀԵՐՄԱՆՎՈՒԹՅՈՒՆ

L. G. PETROSIAN

Ա. Ժ Փ Ա Փ Ա Վ Ա

Տրված է Կուետի խնդրի լուծումը ոչ սիմետրիկ լարման թենզորով անսկզբանական հեղուկի դեպքում: Դիտարկված է շերմաստիճանի

բաշխումը մածուցիկ անսեղմելի ոչ սիմետրիկ հեղուկի ստիպոդական կռնվեկտիվ հոսքի դեպքում: Յույց է արված, որ ջերմության անշատումը ավելին է, քան նյուտոնյան դասական հեղուկների համար, որ ներքին պտույտը հաշվի չի առնվում:

## ЛИТЕРАТУРА

1. Шихтина Г. Теория пограничного слоя.—М.: Наука, 1974. 711 с.
2. Schlichting H. Einige exakte Lösungen für die Temperaturverteilung in einer laminaren Strömung.—ZAMM, 1951, Band 31, p. 78—83.
3. Петросян Л. Г. Некоторые вопросы механики жидкости с несимметричным тензором напряжений.—Ереван: Изд-во ЕГУ, 1984. 308 с.
4. Grad H. Statistical mechanics—Thermo-dynamics and fluid dynamics of systems, with an arbitrary number of Integrals.—Commun. pure. appl. math., 1952, vol. 5, № 4, p. 455—494.
5. Аэро Э. Л., Булыгин А. Н., Кувшинский Е. В. Асимметрическая гидромеханика.—ПММ, 1965, т. 29, вып. 2, с. 297—308.
6. Негун Ван Дъеп, Листров А. Т. О неизотермической модели несимметричных жидкостей.—Изв. АН СССР, МЖГ, 1967, № 5, с. 132—136.
7. Петросян Л. Г. Исследование гидродинамического поведения многокомпонентного континуума с асимметрическим тензором напряжения. 1. Основные уравнения.—Ученые записки, ЕГУ, 1976, № 3, с. 56—63.
8. Петросян Л. Г. Исследование гидродинамического поведения многокомпонентного континуума с асимметрическим тензором напряжения. 2. Феноменологические уравнения. Пересятные эффекты.—Ученые записки, ЕГУ, 1977, № 2, с. 74—80.
9. Петросян Л. Г. Исследование гидродинамического поведения многокомпонентного континуума с асимметрическим тензором напряжения. 3. Пристеночный и приосевой эффекты в пуазейлевском течении суспензии.—Ученые записки, ЕГУ, 1978, № 2, с. 46—54.
10. Петросян Л. Г. К построению модели магнитной гидродинамики несимметричных жидкостей.—Прикладная механика, 1976, т. 12, № 11, с. 103—109.
11. Петросян Л. Г. О модели электрогоидродинамики с несимметричным тензором напряжений.—ЖТФ, 1979, т. 49, вып. 3, с. 481—487.
12. Петросян Л. Г. К построению неизотермической модели электрогоидродинамики с несимметричным тензором напряжений.—Прикладная механика, 1980, т. 16, № 4, с. 108—114.
13. Мицун Н. П., Прохоренко П. П. Нагрев микрополярной жидкости вследствие вязкой диссиации энергии в каналах. Ч. II. Течение Куэтта.—Инженерно-физический ж., 1984, т. XLVI, № 3, с. 393—398.
14. Eringen A. C. Theory of micropolar fluids.—J. Math. Mech. 1966, vol. 15, № 1, p. 1—18.
15. Петросян Л. Г. Об одной задаче пограничного слоя с моментными напряжениями.—Изв. АН АрмССР, Механика, 1973, т. 26, № 3, с. 47—57.
16. Ландай Л. Д., Лившиц Е. М. Гидродинамика.—М.: Наука, 1986. 736 с.
17. Де Гроот С., Мазур П. Неравновесная термодинамика.—М.: Мир, 1964. 456 с.
18. Гребер Г., Эрк С., Григуль У. Основы учения о теплообмене.—М.: Изд. иностр. лит., 1958. 566 с.

## ԲԱՎԱՆԴԱԿՈՒՅՑ

Բագրուն Ա., Մովսիսյան Լ. Ա.—Շարժմաղ ճարի ինտենսիվության գործակցի վրա մադ- կանական գաշտի ազդեցության մասին	3
Բերբեկյան Մ. Վ.—Անհամառել շերտով լրամի ալիքների գոյացման պարմաների մասին	7
Տրոյին Մ. Վ.—Սուճան ալիքների միապատճի փոխազդեցությունը շարժմաղ ամրացման հետ	11
Համբարձումյան Գ. Ա., Շեկրյան Ա. Վ.—Ալիքների տարածումը ոչ հարթ և զգը ունեցող կիրաանվերջ տարածությունում	15
Կիրակոսյան Ռ. Մ.—Փափոխական հաստության անիզոտրոպ սալերի մի ճշգրտված ահ- սության մասին	26
Քաղցանարյան Գ. Ե., Խաչատրյան Գ. Մ.—Հազորդի օնակի ոչ գծալին տատանումները երկամական մակնիսական գաշտով	34
Ղազարյան Կ. Բ.—Մագնիսական գաշտով հոսանքատար թելի հավասարակշիռ ձևերի բնորոշումը	42
Պետրոսյան Լ. Գ.—Կառուցվածքային ոչ սիմետրիկ հեղուկի կուետի հոսքը և շրջատվու- թյունը	49

## СОДЕРЖАНИЕ

Багдоея А. Г., Мовсисян Л. А.—О влиянии магнитного поля на коэффициент интенсивности напряжений для движущейся трещины	3
Белубекян М. В.—Об условиях существования волн Лява с неоднородным слоем	7
Трубин М. В.—Однократное взаимодействие изгибных волн с движущимся закреплением	11
Амбарцумян В. А., Шекоян А. В.—Распространение волн в полупространстве с неровной границей	18
Киракосян Р. М.—Об одной уточненной теории анизотропных пластин пере- менной толщины	26
Баедасарян Г. Е., Хачатрян Г. М.—Нелинейные колебания проводящей плас- тинки в продольном магнитном поле	34
Казарян К. Б.—Определение равновесных форм теконесущей нити в магнит- ном поле	42
Петросян Л. Г.—Течение Куэтта и теплоотдача структурной несимметричной жидкости	49

Сдано в набор 15.VI.93 г. Подписано к печати 24.IX.93 г.  
Формат 70×108<sup>1</sup>/16. Бумага № 1. смыктыкарская. Высокая печать. Печ. лист 3,75.  
Усл. печ. л. 5,25. Усл. кр. отт. 5,2. Тираж 450. Заказ 97.

Издательство НАН Армении, 375019, Ереван, пр. Маршала Баграмяна, 24 г.

Типография Издательства НАН Армении, 378410, г. Аштарак, 2

## ПРАВИЛА ДЛЯ АВТОРОВ

1. Статьи, представляемые в «Известия Академии наук Армении, Механика», должны сопровождаться разрешением на опубликование от учреждения, в котором выполнена работа.

2. Статьи представляются на армянском или русском языках в двух экземплярах в возможно сжатой и ясно изложенной форме, чисто напечатанными на пишущей машинке в два интервала на одной стороне листа. К статье должно быть приложено разоме на армянском языке, если она написана на русском языке, и наоборот, а также аннотация в 2-х экземплярах с указанием УДК.

3. Объем статьи не должен превышать 14 стр. машинописи, включая список литературы и таблицы.

4. Формулы и все обозначения вписываются от руки чернилами, при этом должно быть отчетливое различие между заглавными и строчными буквами.

В тех случаях, когда заглавные и строчные буквы одинаковы по начертанию необходимо заглавные буквы подчеркнуть снизу двумя черточками, а строчные отметить двумя черточками сверху, например: V и v, S и s, O и o, K и k, U и u и т. д. Следует также делать различие между O, o и 0 (нулем), для чего 0 (нуль) следует подчеркнуть снизу квадратной скобкой (карандашом).

Необходимо тщательно выписывать похожие друг на друга буквы, например, g и q, I и i, J и y, n и п и др. Греческие буквы подчеркивать красным карандашом.

Индексы и показатели следует отметить чёрным карандашом соответственно дугой  $\circ$  или  $\wedge$ , например:  $\frac{4}{N}$ . Черточки и другие знаки над буквами в математических обозначениях применять лишь в случае особой надобности.

Математические обозначения, например  $\sin$ ,  $\arcsin$ ,  $\ln$ ,  $\lg$ ,  $\lim$ ,  $\text{const}$  и т. д. надо подчеркивать горизонтальной прямой скобкой.

5. Рекомендуется двойная нумерация формул: первая цифра обозначает номер параграфа, вторая после точки—номер формулы.

6. Литература приводится общим списком в конце статьи, при этом в нижеследующей последовательности указываются: для книги—фамилия и инициалы автора, полное название книги, номер тома, место издания, издательство, год издания, страницы; для журнала—фамилия и инициалы автора, наименование работы, название журнала, год издания, том (подчеркнут) и выпуск. Ссылка на литературу в тексте дается цифрой в квадратных скобках.

7. Чертежи прилагаются на отдельных листах. Места иллюстрации указываются на левом поле страницы отметкой «фиг.». Подпись к иллюстрациям даются на отдельном листе в конце статьи. Каждая иллюстрация (чертеж, фото и др.) подписывается автором. На обороте иллюстрации указывается название журнала, фамилия автора, заглавие статьи и номер иллюстрации. Иллюстрации представляются в двух экземплярах; один экземпляр должен быть выполнен тушью на белой плотной бумаге или кальке, а второй—можно представить в виде светокопии или фотокопии. Фотоснимки должны быть контрастными.

8. В конце статьи должно быть указано полное название учреждения, где выполнена работа.

9. При представлении двух или более статей указывается желательный порядок их опубликования.

10. При возвращении статьи автору для доработки, датой поступления считается день получения редакцией окончательного текста.

11. В случае отказа в публикации редактор оставляет за собой право не возвращать автору один экземпляр статьи.

12. Рукопись подписывается автором с указанием его адреса, фамилии, имени отчества, а также номера телефона.

Адрес редакции: 375019, Ереван-19, пр. Маршала Баграмяна, 24-б. Редакция журнала «Известия АН Армении, Механика».

1. Հայութանի պիտությաների ակադեմիոցիք աղքակագրի և Մելիքանիկաս սերբայիններկայացվող Հազմաններին կցուցում է տպագրության թույժավորությունը այն Հիմքարերից, որ տեղ կատարված է աշխատանքում:

2. Հազվածները ներկայացվում են հայերեն կամ ռուսերեն, երկու օրինակից, հնարավորին չափ սեղմ, պարզ շարադրված, թղթի մի հզգմի գրա երկու միջուկով (ինտերվալով) մաքուր մեթենացրգած, Ռուսերեն Հազվածները կցում է հայերեն ամփոփում և հակառակը, ինչպես նաև ամսութեաբառ՝ 2 օրինակից, Նշելով Ա. Ա. Կ.

3. Հորդմածի ծափալը, Ներսության պրականության ցանկը և ազգային պատմութեանը, 14 ժերմանիքը չէցին ափելին չափաբ է լինել:

4. Բանակերծությունը պահպանում է բարձր և լավագույն ստուգակիր քննիչ ու որոշակի գործությունները՝ ցանցուն կերպով պահպանում է առաջարկագիրը:

Եթե միհատակները և փոքրատակները նման են իրենց զգացողությանը, միհատակները

բնագավառ են երկու դժիկով, իսկ փոքրաստանը՝ երկու դժիկով նշանակ է մասնակ Վ և Վ, Օ և Օ, Կ և Կ, Մ և Մ, Տ և Տ և այլն։ Պետք է նաև հասուն կտարքեթակել Օ-ն, Օ-ն և Օ-ն (պր), որի համար Օ-ն (պր) ահաւը է ընդունել նկրբնից քառակիսուի փակագծով (ժամանակ)։

Անհրաժեշտ է խօսքից զբել իրար նման առարկը՝ ց և զ, լ և ը, լ, յ և յ, ու և ու *այլն*. Հանուրին առարկը ընդունել կարմիր մատիսոն։

Բներբաներն ու աստիճանացույցները պիտի և սկզբանից նշել առեալ\* համարակա-

Խանաբար կամ օքինակ՝  $N^4$  լութեատիկական էւանակը ուղարկում էր առաջապես առաջին զբանի վրա գծիկեր և առ նշաններ զնեց միան խոսս անհամաշընթան դիպրում:

Սաբթեմբերին և Հաւոկովումները (sin., arcsin, ln, lg, lim, const &  $m_H$ ) բնագագի հարիւրական ուղիղ փոկացքներ:

5. Խորհրդարդ է տրվում կիբանել բանաձևերի կրկնակի շամարագրում, որի առաջին թվային տարրը կտա պարագրաֆի համարը, իսկ կետեց նույն երկրարդը՝ բանաձևի համարը:

6. Գրահանությունը, ընդհանուր ցուցակով, կցվում է Հազվածի վերցումը: Ըստ որում, ավելաները նշվում են Համելալ Հաջորդականությամբ, Այս պիրք է՝ Հեղինակի ազգանունը, անվան, Հայրանվան սկզբնատառերը, ցրեի լրիվ անունը, հատորը, Հրատարակությունը, Հրատարակման տեղն ու տարեթիվը, էջերի բանակը, կի՞ն ամսագիր է՝ Հեղինակի ազգանունը, անվան, Հայրանվան սկզբնատառերը, աշխատության վերնադիրը՝ ամսագրի անունը, Հրատարակման տարեթիվը, հատորը, պահիս, ինը:

Տեղական պատմությունները պահպանվում են բարձրագույն մակարդակում՝ առաջարկած պահպանի մեջ:

7. Գֆագրեմք կցվում էն առանձին լիերթների և նկարների տեղերը նշվում են ձախ լուսակցության մեջ և առանձին լիերթների ժամանակակից պահապահության մեջ առանձին թթվի բարք, որը նույնական կցվում է Հոգիածի զերծությամբ Յարաքանչության նկար (գֆագիր, լուսանկար և այլն) առարագիքում է Հոգինակի կողմէից Նկարի չափառակի կցվումը նշվում են ամսագրի անանձն՝ Հոգինակի ազգանունիք, լույսածի վերհնադիրը նկարի համարը նկարները ներառյացիք են երկու պրինտիկից մեկը սահմանակ առությունները թղթի կամ պատճենահանելու դղթի (կալտու) կրա առաջայի զգման, իսկ մյուսը կարող է լինել երրու լուսապատճենը։ Առանձինարկները պետք է լինեն պատճենահան։

Յ. Հազարի վերջում՝ պես և պրել այն հիմնարկի լրիվ անունը՝ պատկ կառարժել է աշխատանքը, և Ֆեռնանդ առաջարկութեանը:

9. Արկու և ազգի հագում Անդրկայացնելու դիպութիւն պետք է նշել նրանց հրապարակման առաջնահարիւստի ուժում:

10. Եթե հարցածքը վերաբերություն է համար վերապարձել է հազինակին, ապա ստացման

11. Աշխատություն հրապորակումը մերժելու դնդարձում բարեգործությունն իրավունք է:

12. Եղինակը պետք է սուրագրի հազվածքը և նշել իր հացնեն, աղբանումը, անեմը և

կերպարմիւն Շատրվան 375019, Երևան—19, Մարշալ Բագրայիանի պող., 24 բ., Հայ-